

特殊情形——平面波对分界面的**垂直**入射

一般情形——平面波对分界面的**斜**入射

6.2 平面波对**理想导体**的斜入射

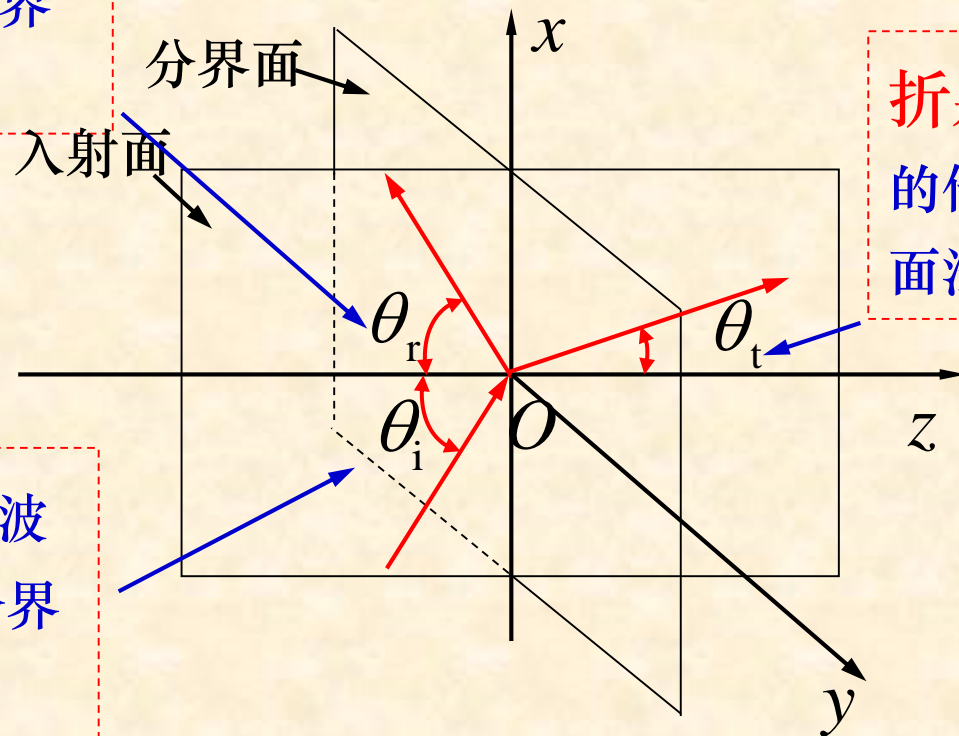
6.3 平面波对**理想介质**的斜入射

1. 重要概念

斜入射：电磁波的入射方向与分界面的法线有一定夹角的入射方式。

入射面：均匀平面波的传播方向与分界面法线所构成的平面。

反射角： 反射波的传播方向与分界面法线的夹角。



折射角： 透射波的传播方向与分界面法线的夹角。

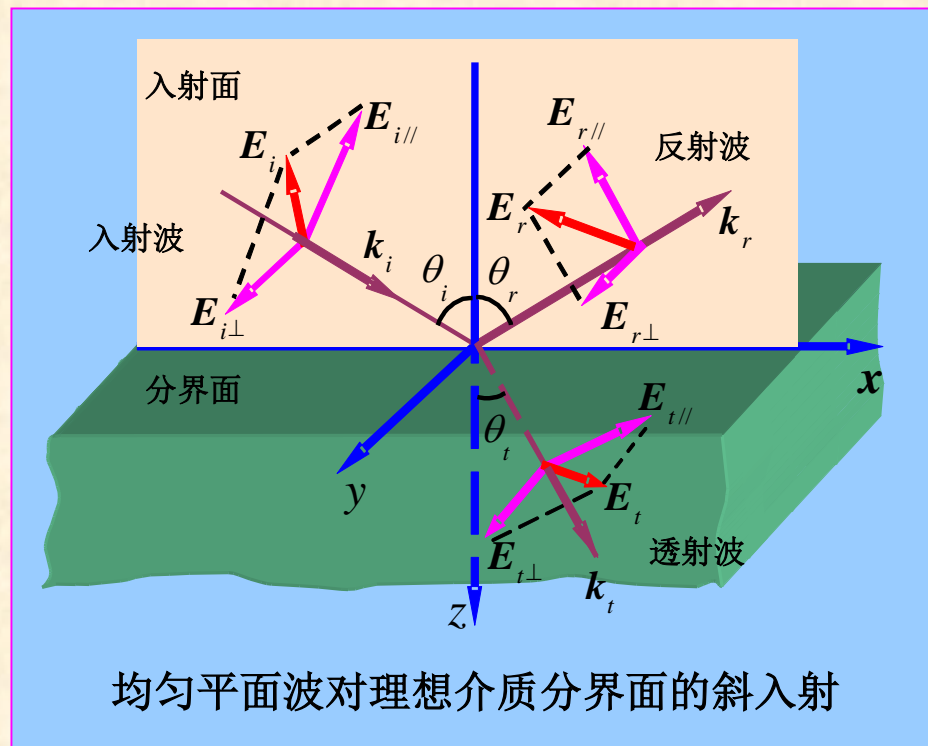
入射角： 入射波的传播方向与分界面法线的夹角。

- 垂直极化波:

电场方向与入射面垂直的平面波;

- 平行极化波:

电场方向与入射面平行的平面波。



任意极化波 = 平行极化波 + 垂直极化波

- 斜投射时的反射系数及折射系数与平面波的极化特性有关。

§ 6.2 平面波对理想导体的斜入射

Oblique Incidence at a Perfect Conductor Boundary

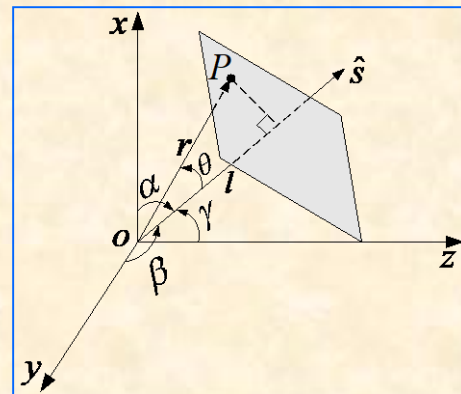
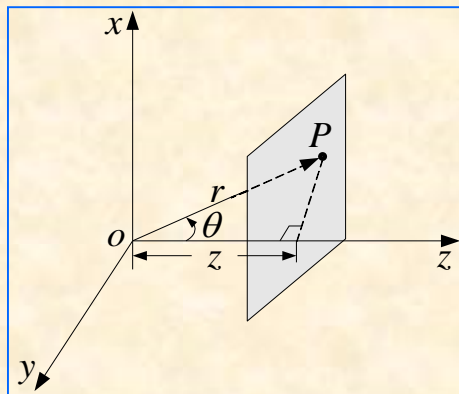
本节内容

- 一. 沿任意方向传播的平面波
- 二. 垂直极化波对理想导体的斜入射
- 三. 平行极化波对理想导体的斜入射

§ 6. 2 平面波对理想导体的斜入射

一、沿任意方向传播的平面波

1. 平面波的一般数学表达式



◆以z方向传播的电场 $\bar{\mathbf{E}} = \bar{\mathbf{E}}_0 e^{-jkz}$ 为例

图6.2-1 沿z轴和沿任意方向传播的平面波坐标关系

波的等相面 $z = \text{const.}$ 上任意点 $P(x, y, z)$ 相对于原点的相位: $-kz = -k\hat{z} \cdot \bar{\mathbf{r}}$

因此, P点的电场矢量

$$\bar{\mathbf{E}} = \bar{\mathbf{E}}_0 e^{-jk\hat{z} \cdot \bar{\mathbf{r}}}$$

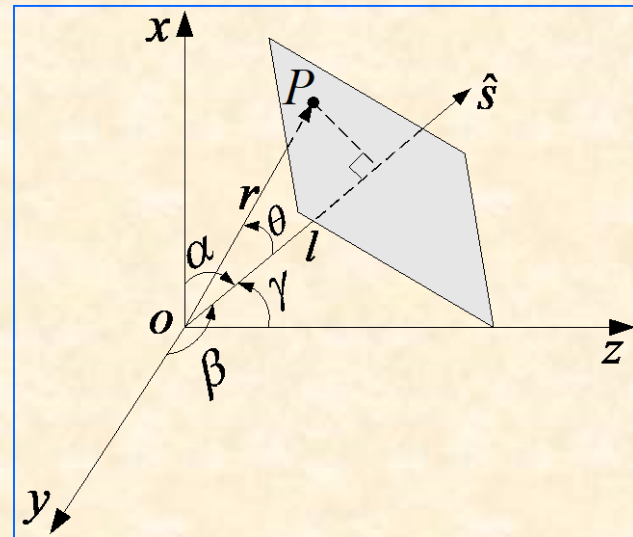
波的等相面上任意点 $P(x,y,z)$ 相对于原点的相位:

$$-kl = -k\hat{s} \cdot \bar{r} \quad (\text{由图 } \hat{s} \cdot \bar{r} = r \cos \theta = l)$$

因此, P点的电场矢量

$$\bar{k} = k\hat{s}$$

$$\bar{E} = \bar{E}_0 e^{-jk\hat{s} \cdot \bar{r}} = \bar{E}_0 e^{-j\bar{k} \cdot \bar{r}}$$



如果传播方向与 x , y , z 轴的夹角分别为 α 、 β 、 γ , 则任意方向传播的平面波坐标关系

$$\hat{s} = \hat{x} \cos \alpha + \hat{y} \cos \beta + \hat{z} \cos \gamma$$

$$\bar{k} = k\hat{s} = \hat{x}k_x + \hat{y}k_y + \hat{z}k_z$$

$$k_x = k \cos \alpha, \quad k_y = k \cos \beta, \quad k_z = k \cos \gamma \quad k_x^2 + k_y^2 + k_z^2 = k^2$$

$$\therefore \text{ 电场矢量为 } \bar{E} = \bar{E}_0 e^{-j\bar{k} \cdot \bar{r}} = \bar{E}_0 e^{-j(k_x x + k_y y + k_z z)}$$

$$\bar{r} = \hat{x}x + \hat{y}y + \hat{z}z$$

2. 沿任意方向传输均匀平面波的简化算法



z向均匀平面波 $(e^{-jk\hat{z}\cdot\bar{r}})$: $\nabla = -jk\hat{z}$

由于 $\begin{cases} \nabla e^{-j\bar{k}\cdot\bar{r}} = -j\bar{k}e^{-j\bar{k}\cdot\bar{r}} \\ \nabla \cdot (\bar{E}_0 e^{-j\bar{k}\cdot\bar{r}}) = -j\bar{k} \cdot \bar{E}_0 e^{-j\bar{k}\cdot\bar{r}} \\ \nabla \times (\bar{E}_0 e^{-j\bar{k}\cdot\bar{r}}) = -j\bar{k} \times \bar{E}_0 e^{-j\bar{k}\cdot\bar{r}} \end{cases}$ 可见 $\nabla = -j\bar{k}$

s向均匀平面波 $(e^{-j\bar{k}\cdot\bar{r}} = e^{-jk\hat{s}\cdot\bar{r}})$: $\nabla = -j\bar{k} = -jk\hat{s}$

因此，无源区的Maxwell方程组

$$\begin{cases} -j\bar{k} \times \bar{E} = -j\omega\epsilon\bar{H} \\ -j\bar{k} \times \bar{H} = j\omega\mu\bar{E} \\ -j\bar{k} \cdot \bar{E} = 0 \\ -j\bar{k} \cdot \bar{H} = 0 \end{cases} \longrightarrow \begin{cases} \bar{H} = \frac{1}{\eta} \hat{s} \times \bar{E} & (a) \\ \bar{E} = -\eta \hat{s} \times \bar{H} & (b) \\ \hat{s} \cdot \bar{E} = 0 & (c) \\ \hat{s} \cdot \bar{H} = 0 & (d) \end{cases}$$

电场和磁场互相垂直且都与传播方向垂直，电场和磁场模值相差一个常数。

该均匀平面波的平均功率流密度

$$\begin{aligned}\bar{S}^{av} &= \operatorname{Re}\left[\frac{1}{2} \bar{E} \times \bar{H}^*\right] \\&= \frac{1}{2\eta} \operatorname{Re}[\bar{E} \times \hat{s} \times \bar{E}^*] \\&= \frac{1}{2\eta} \operatorname{Re}[(\bar{E} \cdot \bar{E}^*)\hat{s} - (\bar{E} \cdot \hat{s})\bar{E}^*] \\&= \frac{1}{2\eta} |\bar{E}|^2 \hat{s} = \hat{s} \frac{1}{2\eta} E_0^2\end{aligned}$$

波的传播方向 \hat{s} 就是实功率的传输方向

P.176 例6.2-1 已知空气中一均匀平面波的磁场强度复矢量为

$$\bar{H} = (-\hat{x}A + \hat{y}2\sqrt{6} + \hat{z}4)e^{-j\pi(4x+3z)} \quad \mu A/m$$

试求：a) 波长 λ ，传播方向单位矢量及传播方向与z轴夹角 θ ；

b) 常数A；

c) 电场强度复矢量 \bar{E}

[解] (a) $\because \bar{k} \cdot \bar{r} = (\hat{x}k_x + \hat{y}k_y + \hat{z}k_z) \cdot (\hat{x}x + \hat{y}y + \hat{z}z) = 4\pi x + 3\pi z$

$$\therefore k_x = 4\pi, \quad k_y = 0, \quad k_z = 3\pi \longrightarrow k = \sqrt{k_x^2 + k_z^2} = 5\pi = \frac{2\pi}{\lambda}$$

$$\lambda = \frac{2\pi}{k} = \frac{2}{5} = 0.4m$$

$$\hat{s} = \frac{\bar{k}}{k} = \frac{\hat{x}4\pi + \hat{z}3\pi}{5\pi} = \hat{x}\frac{4}{5} + \hat{z}\frac{3}{5}$$

$$\cos \theta = \hat{s} \cdot \hat{z} = \frac{3}{5}, \quad \theta = \arctan 0.6 = 53.13^\circ$$

$$(b) \because \hat{s} \cdot \bar{H} = 0$$

$$\text{即 } (\hat{x}\frac{4}{5} + \hat{z}\frac{3}{5}) \cdot (-\hat{x}A + \hat{y}2\sqrt{6} + \hat{z}4) = 0$$

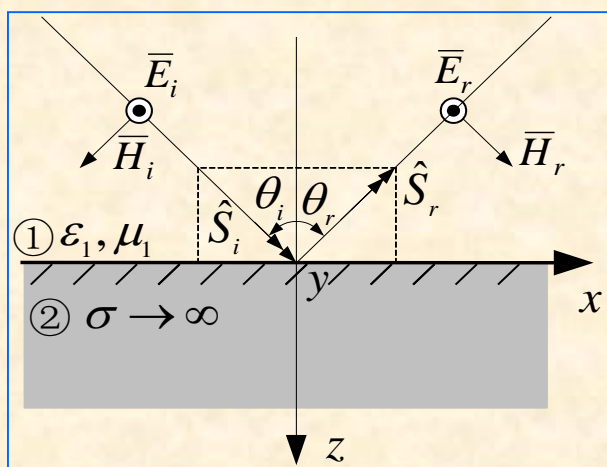
$$\therefore A=3$$

$$\begin{aligned}(c) \quad \bar{E} &= -\eta \hat{s} \times \bar{H} \\ &= -377(\hat{x}\frac{4}{5} + \hat{z}\frac{3}{5}) \times (-\hat{x}A + \hat{y}2\sqrt{6} + \hat{z}4)e^{-j\pi 4x+3z} \\ &= (\hat{x}\frac{6}{5}\sqrt{6} + \hat{y}5 - \hat{z}\frac{8}{5}\sqrt{6})377e^{-j\pi 4x+3z} \mu V/m\end{aligned}$$

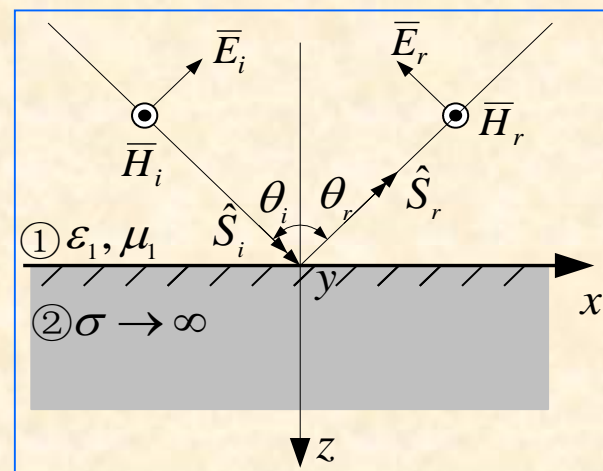
二、垂直极化波对理想导体的斜入射

思路：入射场 $\xrightarrow{\text{BC}}$ 反射场 $\xrightarrow{\text{叠加}}$ 合成场

1. 垂直极化和平行极化



(a) 垂直极化波

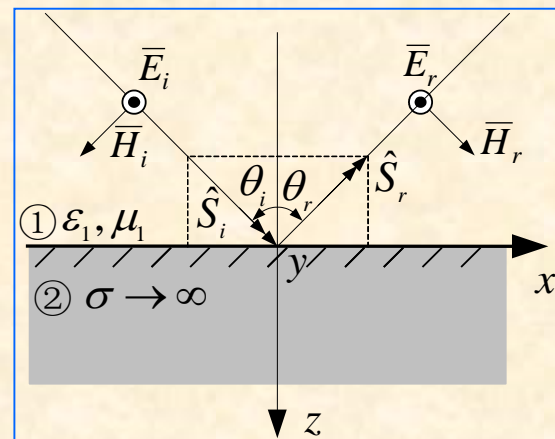


(b) 平行极化波

图6.2-2 两种极化波对理想导体平面的斜入射

➤任意极化的平面波都可以分解成垂直极化波和平行极化波的合成；

2. 反射场的确定



垂直极化波对理想导体平面的斜入射

入射场：传播矢量 $\hat{s}_i = \hat{x} \sin \theta_i + \hat{z} \cos \theta_i$ $\bar{r} = \hat{x}x + \hat{y}y + \hat{z}z$

$$\bar{E}_i = \hat{y}E_{i0}e^{-jk_1\hat{s}_i \cdot \bar{r}} = \hat{y}E_{i0}e^{-jk_1(x \sin \theta_i + z \cos \theta_i)}$$

$$\bar{H}_i = \frac{1}{\eta_1} \hat{s}_i \times \bar{E}_i = (-\hat{x} \cos \theta_i + \hat{z} \sin \theta_i) \frac{E_{i0}}{\eta_1} e^{-jk_1(x \sin \theta_i + z \cos \theta_i)}$$

反射场: 传播矢量 $\hat{s}_r = \hat{x} \sin \theta_r - \hat{z} \cos \theta_r$

$$\bar{E}_r = \hat{y} E_{r0} e^{-jk_1 \hat{s}_r \cdot \bar{r}} = \hat{y} E_{r0} e^{-jk_1(x \sin \theta_r - z \cos \theta_r)}$$

$$\bar{H}_r = \frac{1}{\eta_1} \hat{s}_r \times \bar{E}_r = (\hat{x} \cos \theta_r + \hat{z} \sin \theta_r) \frac{E_{r0}}{\eta_1} e^{-jk_1(x \sin \theta_r - z \cos \theta_r)}$$

应用BC: $z=0$ 处, 切向电场为0, 即 $E_{iy}|_{z=0} + E_{ry}|_{z=0} = 0$

$$\text{即 } E_{i0} e^{-jk_1 x \sin \theta_i} + E_{r0} e^{-jk_1 x \sin \theta_r} = 0$$

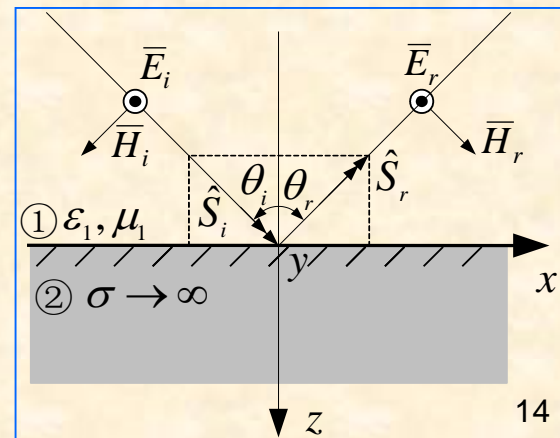
所以:

$$\theta_i = \theta_r = \theta_1$$

入射角等于反射角

$$E_{r0} = -E_{i0}$$

$$\text{即 } R_{\perp} = \frac{E_{r0}}{E_{i0}} = -1$$



3. 合成场

区域1中的合成场 $E_y = E_{i0}(e^{-jk_1 z \cos \theta_1} - e^{jk_1 z \cos \theta_1})e^{-jk_1 x \sin \theta_1}$

$$= -j2E_{i0} \sin(k_1 z \cos \theta_1) e^{-jk_1 x \sin \theta_1}$$

$$H_x = -\frac{E_{i0}}{\eta_1} \cos \theta_1 (e^{-jk_1 z \cos \theta_1} + e^{jk_1 z \cos \theta_1}) e^{-jk_1 x \sin \theta_1}$$

$$= -\frac{2E_{i0}}{\eta_1} \cos \theta_1 \cos(k_1 z \cos \theta_1) e^{-jk_1 x \sin \theta_1}$$

$$H_z = \frac{E_{i0}}{\eta_1} \sin \theta_1 (e^{-jk_1 z \cos \theta_1} - e^{jk_1 z \cos \theta_1}) e^{-jk_1 x \sin \theta_1}$$

$$= -j \frac{2E_{i0}}{\eta_1} \sin \theta_1 \sin(k_1 z \cos \theta_1) e^{-jk_1 x \sin \theta_1}$$

合成场特点

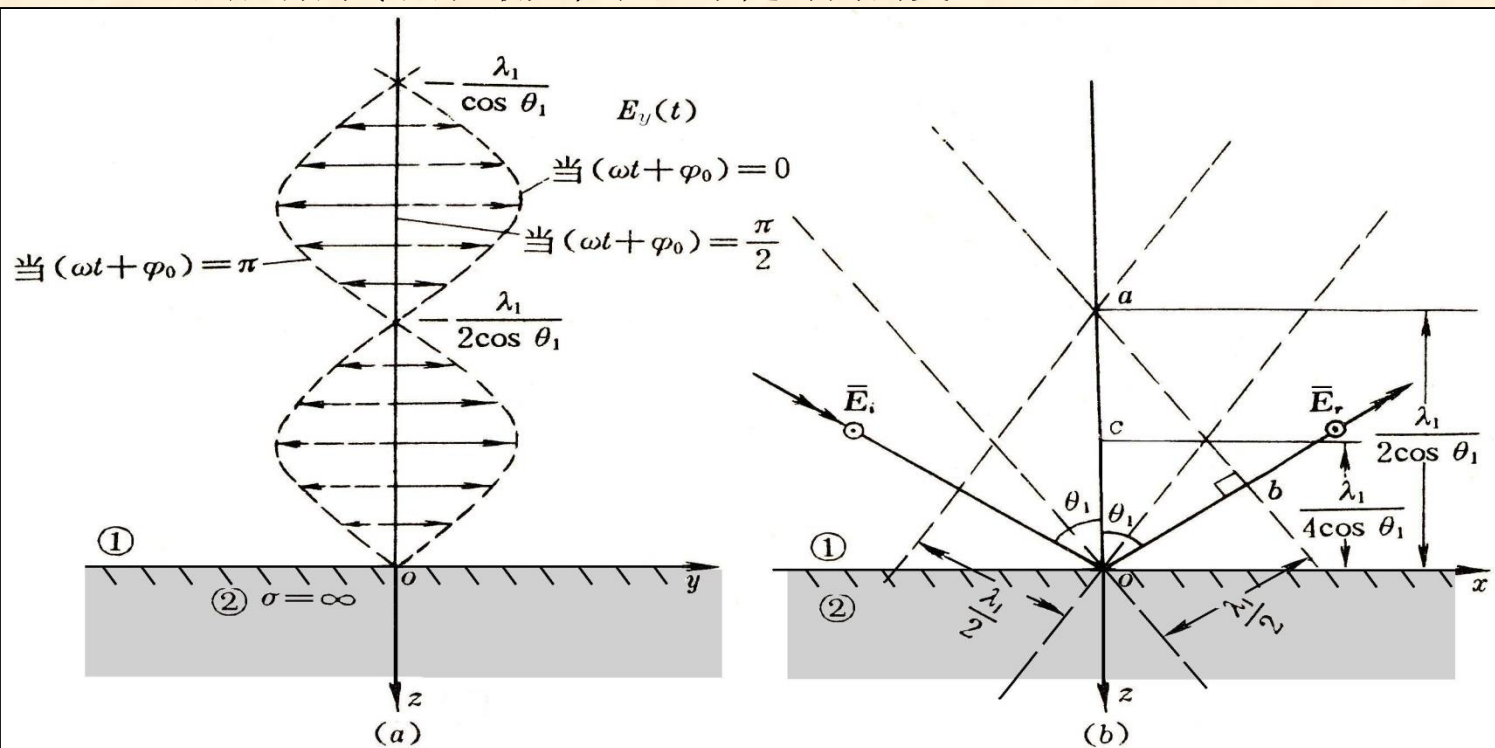
$$E_y = -j2E_{i0} \sin(k_1 z \cos \theta_1) e^{-jk_1 x \sin \theta_1}$$

(1) **合成场在z向为驻波**。合成电场在z向按正弦变化：

波节点，即0点位于 $k_1 z \cos \theta_1 = -n\pi$ ，即 $z = -\frac{n\lambda_1}{2 \cos \theta_1}$ ， $n = 0, 1, 2, \dots$

波腹点发生于 $k_1 z \cos \theta_1 = -(2n+1)\frac{\pi}{2}$ ，即 $z = -\frac{(2n+1)\lambda_1}{4 \cos \theta_1}$ ， $n = 0, 1, 2, \dots$

合成场的零点和最大值位置不随时间而变



(2)由 $E_y \propto e^{-jk_1 x \sin \theta_1}$ 知, **合成场在x向是一行波**, 合成场是非均匀平面波。

合成波的相速大于光速：

相位常数 $k_x = k_1 \sin \theta$

相速 $v_x = \frac{\omega}{k_x} = \frac{\omega}{k_1 \sin \theta_1} = \frac{v_1}{\sin \theta_1} \geq v_1, \quad v_1 = \frac{\omega}{k_1} = \frac{1}{\sqrt{\mu_1 \epsilon_1}}$

(3) 功率和能量

沿z方向是驻波, 只有虚功率, 沿x方向是行波, 传播实功率。

$$\begin{aligned} \text{复坡印亭矢量: } \bar{S} &= \frac{1}{2} \bar{E} \times \bar{H}^* = \frac{1}{2} \hat{y} E_y \times (\hat{x} H_x + \hat{z} H_z) = \frac{1}{2} (-\hat{z} E_y H_x + \hat{x} E_y H_z) \\ &= -\hat{z} j \frac{E^2}{\eta_1} \cos \theta_1 \sin(2k_1 z \cos \theta_1) + \hat{x} \frac{2E^2}{\eta_1} \sin \theta_1 \sin^2(2k_1 z \cos \theta_1) \end{aligned}$$

平均功率流密度

$$\bar{S}^{av} = \text{Re}[\bar{S}] = \hat{x} \frac{2E_{i0}^2}{\eta_1} \sin \theta_1 \sin^2(2k_1 z \cos \theta_1)$$

总电磁能密度的平均值为

$$w^{av} = \frac{1}{2} \epsilon_1 E_0^2 = \frac{1}{2} \epsilon_1 [4E_{i0}^2 \sin^2(k_1 z \cos \theta_1)]$$

故能量传播速度

$$v_e = \frac{S^{av}}{w^{av}} = \frac{\sin \theta_1}{\eta_1 \epsilon_1} = v_1 \sin \theta_1 \leq v_1$$

在x方向的能量传播速度 $v_e = v_1 \sin \theta_1$ ，小于光速；且有 $v_x v_e = v_1^2$

(4) 面电流

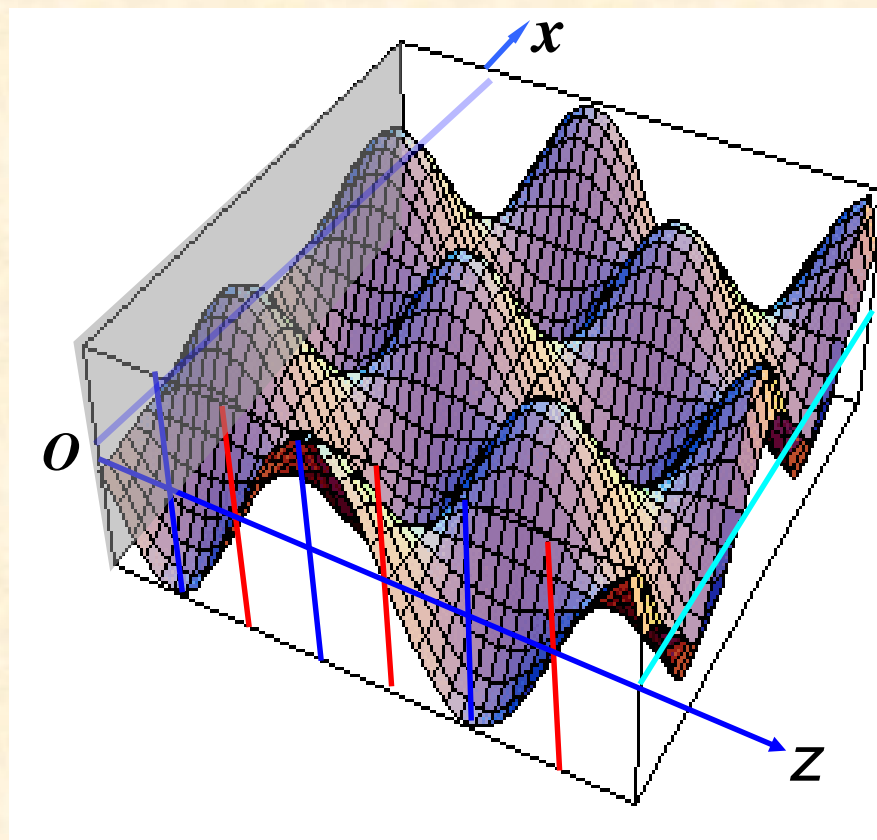
$$\begin{aligned}\bar{J}_s &= \hat{n} \times \bar{H} \big|_{z=0} \\ &= -\hat{z} \times (-\hat{x}) \frac{2E_{i0}}{\eta_1} \cos \theta_1 \cos(k_1 z \cos \theta_1) e^{-jk_1 x \sin \theta_1} \big|_{z=0} \\ &= \hat{y} \frac{2E_{i0}}{\eta_1} \cos \theta_1 e^{-jk_1 x \sin \theta_1}\end{aligned}$$

(5) 合成波沿传播方向有磁场分量，因此不是**TEM波**。

但由于电场只有横向y方向分量，所以称之为**横电波TE波**。

■ 合成波的特点

- 合成波是沿 x 方向的行波，其振幅沿 z 方向成驻波分布，是非均匀平面波；



- 合成波电场垂直于传播方向，而磁场则存在 x 分量，这种波称为横电波，即TE波；

合成波电场在 $z = -n\lambda_1/2\cos\theta_1$ 处为零，因此在该处（例如取 $n=1$ ）放置一理想导电平板并不会破坏原来的场分布。这表明，在两块平行导体板间可以传播TE波。——**平行板波导**，如图6.2-5(a)所示。

假如再放置两块平行导体板垂直于y轴，由于电场与该表面相垂直，因而仍不会破坏场的边界条件。这样，在这四块板所形成的矩形截面空间中也可传播TE波。——**矩形波导**，如图6.2-5(b)所示。

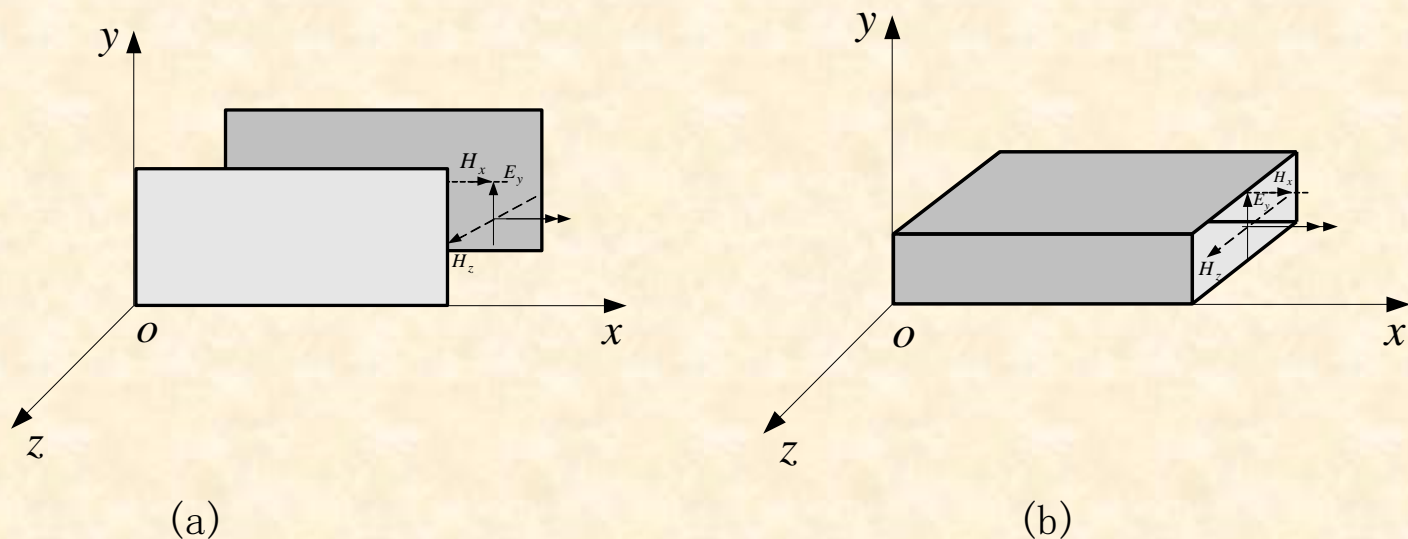
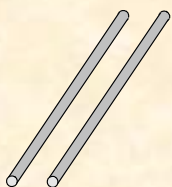
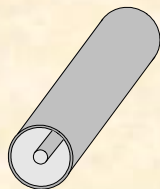


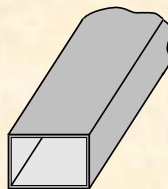
图6.2-5 平行板波导和矩形波导



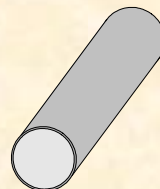
双导线



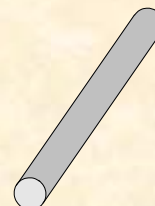
同轴线



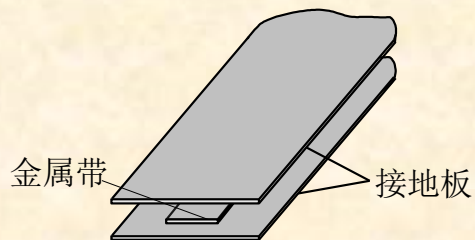
矩形波导



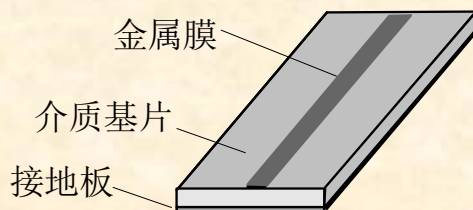
圆波导



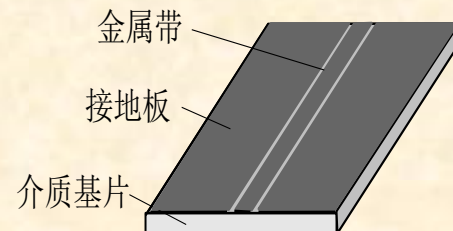
介质波导



带状线



微带线



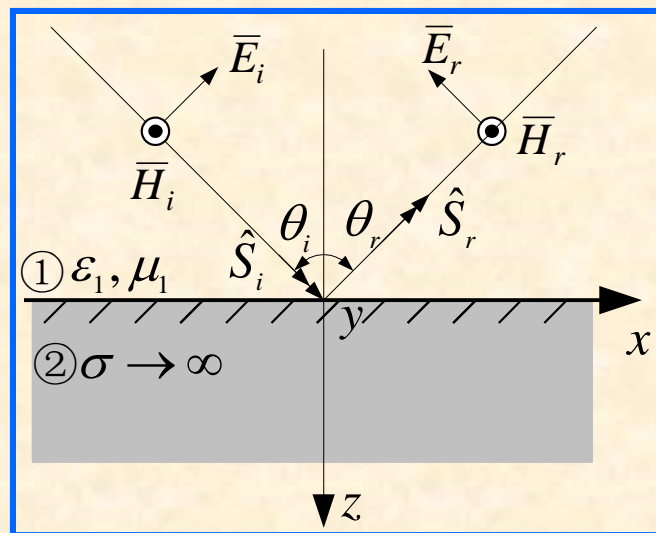
共面波导

几种微波传输线

三、平行极化波对理想导体的斜入射

1. 反射场的确定

入射场：传播矢量 $\hat{s}_i = \hat{x} \sin \theta_i + \hat{z} \cos \theta_i$



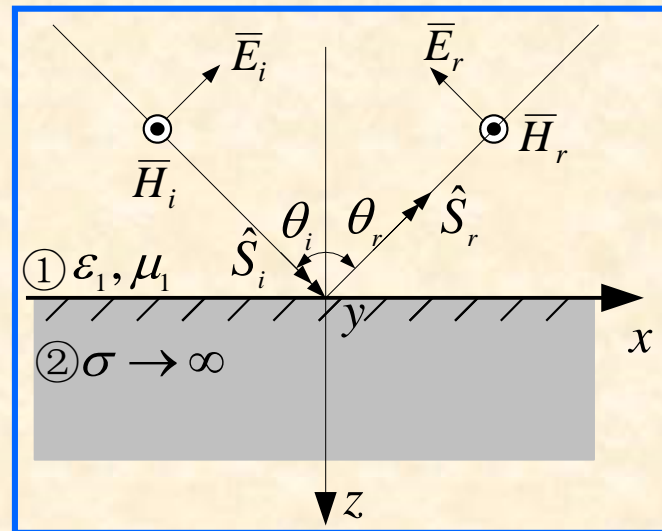
$$\bar{E}_i = (\hat{x} \cos \theta_i - \hat{z} \sin \theta_i) E_{i0} e^{-jk_1(x \sin \theta_i + z \cos \theta_i)}$$

$$\bar{H}_i = \frac{1}{\eta_1} \hat{s}_i \times \bar{E}_i = \hat{y} \frac{E_{i0}}{\eta_1} e^{-jk_1(x \sin \theta_i + z \cos \theta_i)}$$

反射场： 传播矢量 $\hat{s}_r = \hat{x} \sin \theta_r - \hat{z} \cos \theta_r$

$$\bar{E}_r = -(\hat{x} \cos \theta_r + \hat{z} \sin \theta_r) E_{r0} e^{-jk_1(x \sin \theta_r - z \cos \theta_r)}$$

$$\bar{H}_r = \hat{y} \frac{E_{r0}}{\eta_1} e^{-jk_1(x \sin \theta_r - z \cos \theta_r)}$$



应用BC: $z=0$ 处的切向电场连续 $E_{ix}|_{z=0} + E_{rx}|_{z=0} = 0$

$$\text{即} \quad \cos \theta_i E_{i0} e^{-jk_1 x \sin \theta_i} - \cos \theta_r E_{r0} e^{-jk_1 x \sin \theta_r} = 0$$

故

$$\theta_i = \theta_r = \theta_1$$

入射角等于反射角

$$E_{i0} = E_{r0}$$

$$\text{即} R_{//} = \frac{E_{r0}}{E_{i0}} = 1 \quad (\text{注意: 二矢量方向相反!})$$

2. 合成场

区域1的合成场:

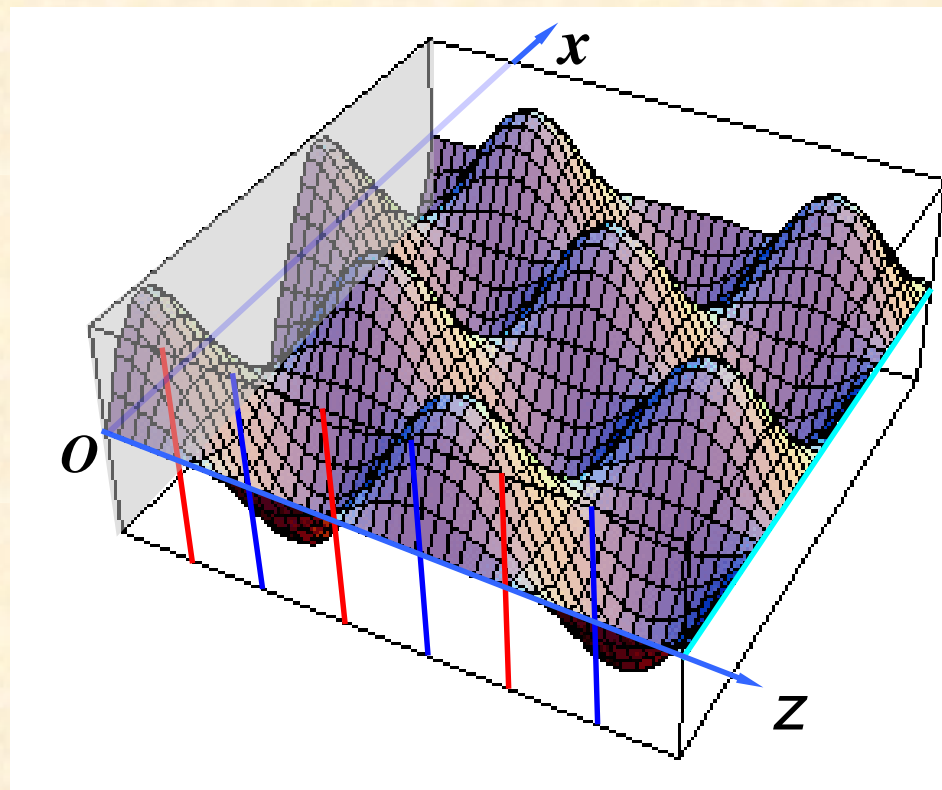
$$E_x = -j2E_{i0} \cos \theta_1 \sin(k_1 z \cos \theta_1) e^{-jk_1 x \sin \theta_1}$$

$$E_z = -2E_{i0} \sin \theta_1 \cos(k_1 z \cos \theta_1) e^{-jk_1 x \sin \theta_1}$$

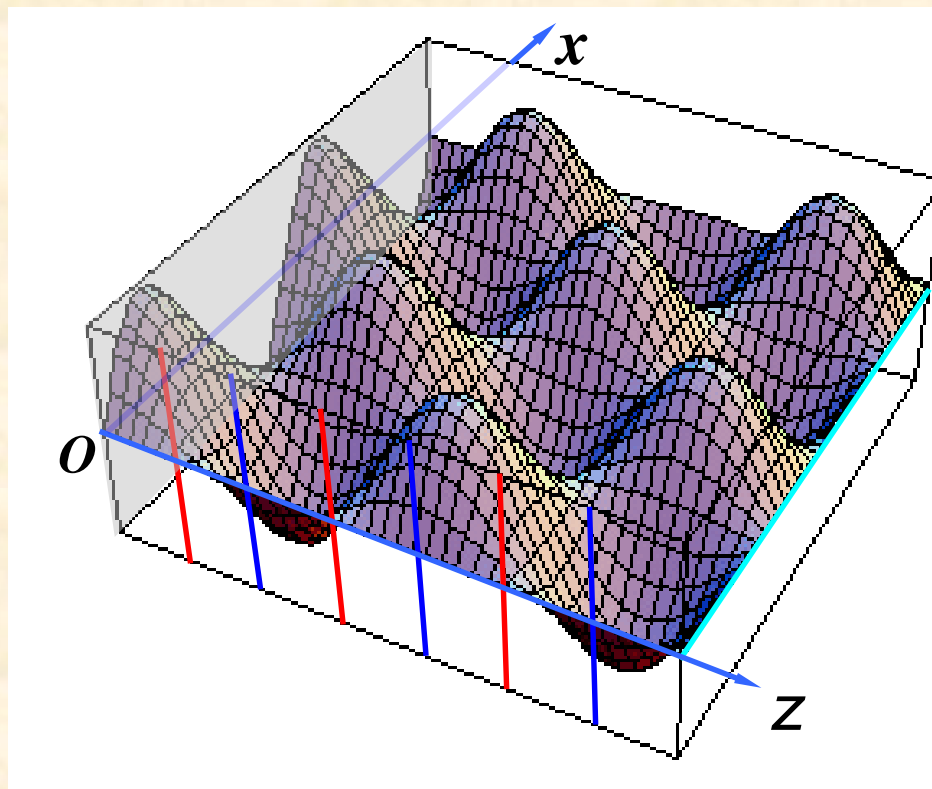
$$H_y = \frac{2E_{i0}}{\eta_1} \cos(k_1 z \cos \theta_1) e^{-jk_1 x \sin \theta_i}$$

合成波的特点

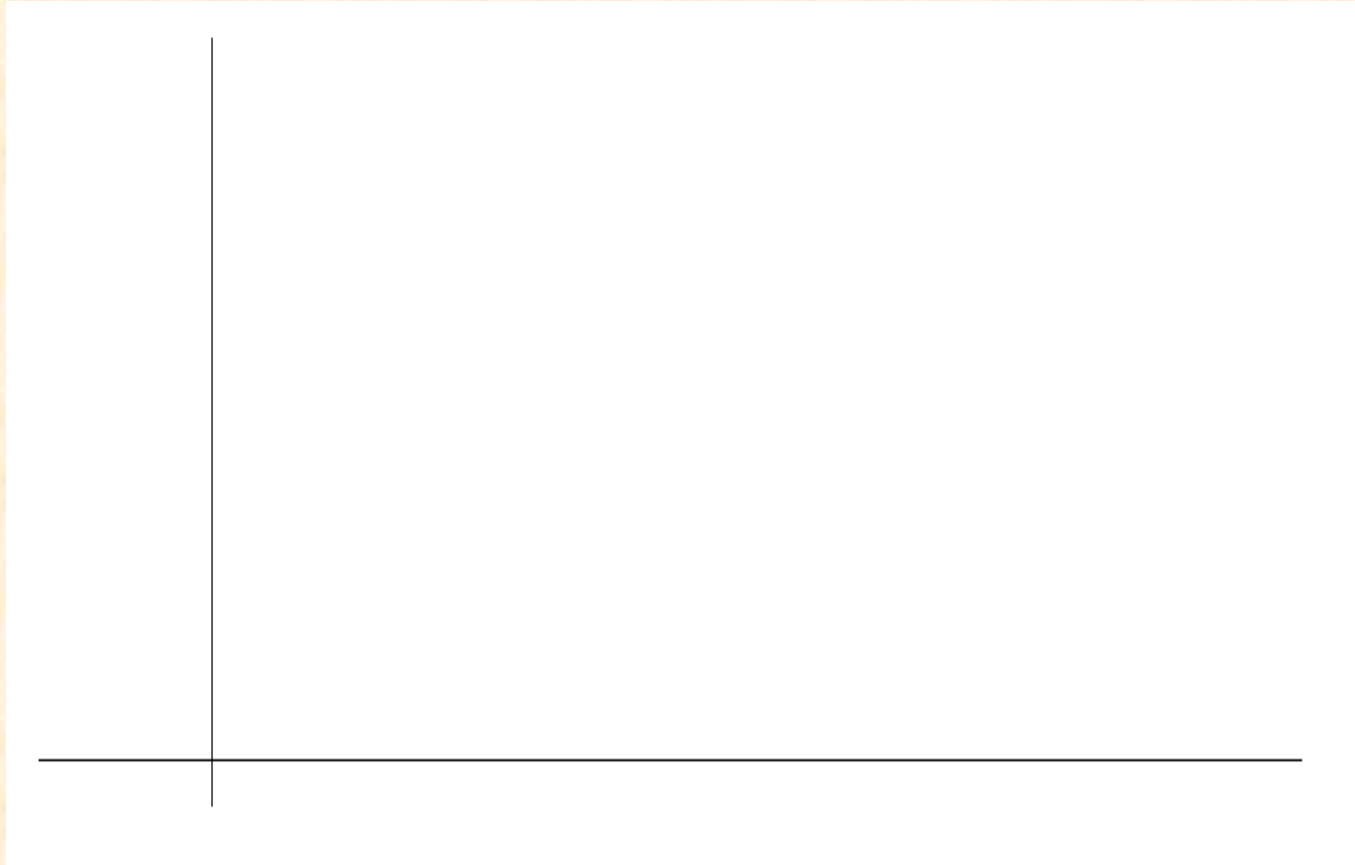
合成波是沿 x 方向的行波，有实功率；其振幅沿 z 方向成驻波分布，是非均匀平面波；



合成波磁场垂直于传播方向，而电场则存在 x 分量，这种波称为横磁 (TM) 波，也称为E波；



- 在 $z = -n\lambda_1 / (2 \cos \theta_i)$ 处，合成波电场的 $E_{1x} = 0$ ，如果在此处放置一块无限大的理想导电平面，则不会破坏原来的场分布，这就意味着在两块相互平行的无限大理想导电平面之间可以传播 TM 波。



standing wave

例

均匀平面波由空气入射于理想导体平面，如图所示。入射电场复矢量为

$$\bar{E}_i = \left(\hat{x} \frac{\sqrt{3}}{2} + \hat{y}j + \hat{z}A \right) e^{-j\pi(x+\sqrt{3}z)/2} (mV/m)$$

试求：a) 波长 λ_0 和入射波传播方向单位矢量 \hat{S}_i ；

b) 入射角 θ_i 和常数A；

c) 反射波电场强度复矢量 ；

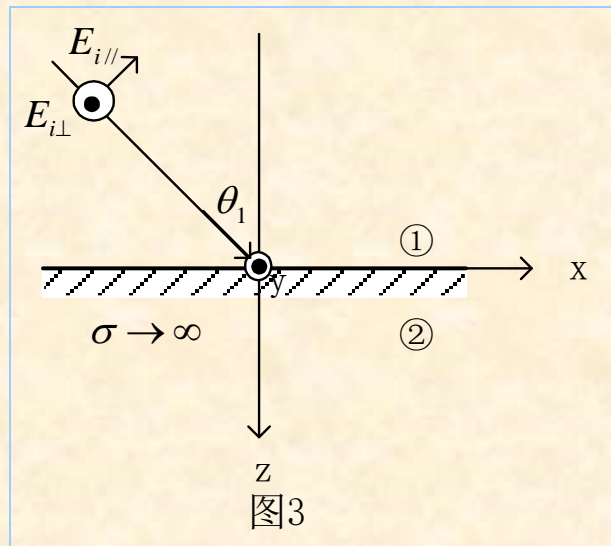
【解】

a) $\bar{k}_i = \pi(\hat{x} + \sqrt{3}\hat{z})/2$

$$k_i = \sqrt{k_{ix}^2 + k_{iy}^2 + k_{iz}^2} = \frac{\pi}{2} \sqrt{1+3} = \pi = \frac{2\pi}{\lambda_0}$$

$$\therefore \lambda_0 = \frac{2\pi}{\pi} = 2m$$

$$\hat{S}_i = \frac{\bar{k}_i}{k_i} = (\hat{x} + \sqrt{3}\hat{z})/2$$



$$b) \quad \cos \theta = \hat{s}_i \cdot \hat{z} = \sqrt{3}/2 \quad \therefore \quad \theta = 30^\circ$$

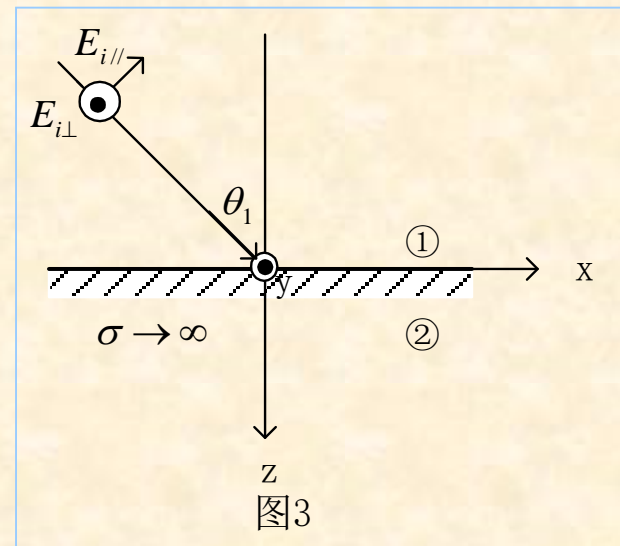
$$\text{由 } \hat{s}_i \cdot E_i = 0 \rightarrow (\hat{x} + \sqrt{3}\hat{z}) \cdot \left(\hat{x} \frac{\sqrt{3}}{2} + \hat{y}j + \hat{z}A \right) = 0 \quad \therefore \quad A = -\frac{1}{2}$$

$$c) \quad \because \quad \hat{s}_r = (\hat{x} - \sqrt{3}\hat{z})/2$$

$$\bar{k}_r = \hat{s}_r k_i = \pi(\hat{x} - \sqrt{3}\hat{z})/2$$

$$R_{\perp} = -1, \quad R_{\parallel} = 1$$

$$\begin{aligned} \therefore \quad \bar{E}_r &= \bar{E}_{r\parallel} + \bar{E}_{r\perp} = \left[\left(-\hat{x} \frac{\sqrt{3}}{2} - \hat{z} \frac{1}{2} \right) R_{\parallel} + (\hat{y}j) R_{\perp} \right] e^{-j\pi(x - \sqrt{3}z)/2} \\ &= - \left(\hat{x} \frac{\sqrt{3}}{2} + \hat{y}j + \hat{z} \frac{1}{2} \right) e^{-j\pi(x - \sqrt{3}z)/2} \end{aligned}$$



§ 6.3 平面波对理想介质的斜入射

Oblique Incidence at Lossless Dielectric Boundary

理想导体（只有反射无透射）→理想介质(反射和透射)

一、相位匹配条件和斯奈尔定律

研究反射波和折射波的传播方向和相位。

入射波、反射波和折射波的传播矢量：

$$\vec{k}_i = \hat{s}_i k_i = \hat{x}k_{ix} + \hat{y}k_{iy} + \hat{z}k_{iz}$$

$$\vec{k}_r = \hat{s}_r k_r = \hat{x}k_{rx} + \hat{y}k_{ry} + \hat{z}k_{rz}$$

$$\vec{k}_t = \hat{s}_t k_t = \hat{x}k_{tx} + \hat{y}k_{ty} + \hat{z}k_{tz}$$

其中 $k_i = k_r = k_1 = \omega\sqrt{\mu_1\epsilon_1}$

$$k_t = k_2 = \omega\sqrt{\mu_2\epsilon_2}$$

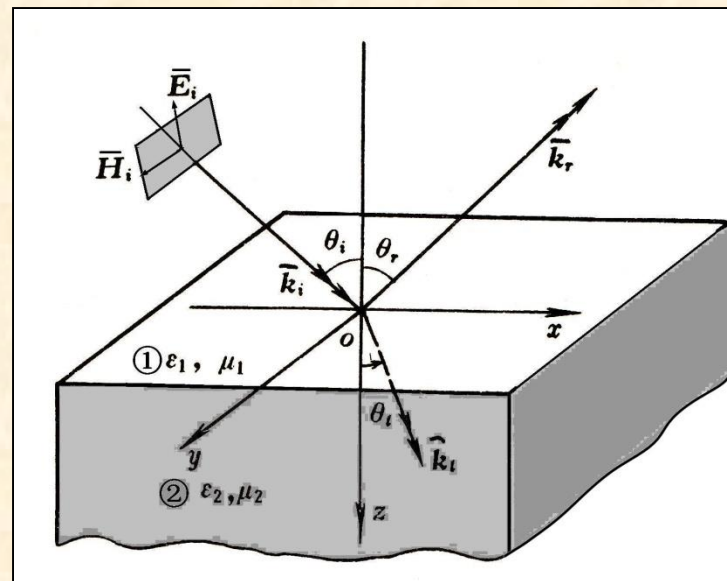


图6.3-1 平面波的斜入射

入射波、反射波和折射波的电场强度复矢量：

$$\begin{aligned}\bar{\mathbf{E}}_i &= \bar{\mathbf{E}}_{i0} e^{-j\bar{\mathbf{k}}_i \cdot \bar{\mathbf{r}}} \\ \bar{\mathbf{E}}_r &= \bar{\mathbf{E}}_{r0} e^{-j\bar{\mathbf{k}}_r \cdot \bar{\mathbf{r}}} \\ \bar{\mathbf{E}}_t &= \bar{\mathbf{E}}_{t0} e^{-j\bar{\mathbf{k}}_t \cdot \bar{\mathbf{r}}}\end{aligned}$$

BC: 分界面 ($z=0$) 两侧的电场切向分量连续

$$E_{i0}^{tg} e^{-j(k_{ix}x+k_{iy}y)} + E_{r0}^{tg} e^{-j(k_{rx}x+k_{ry}y)} = E_{t0}^{tg} e^{-j(k_{tx}x+k_{ty}y)}$$

要使等式在分界面上处处成立，必须使 $k_{ix}x + k_{iy}y = k_{rx}x + k_{ry}y = k_{tx}x + k_{ty}y$

故有

$$k_{ix} = k_{rx} = k_{tx} = k_x$$

$$k_{iy} = k_{ry} = k_{ty} = k_y$$

——相位匹配条件

- 表明反射波及透射波的相位沿分界面的变化始终与入射波保持一致。
- 由相位匹配条件可以推出反射定律和斯奈尔折射定律；

由相位匹配条件推导反射定律和斯奈尔折射定律

设入射面位于 xoz 上，上式得到



因此 $k_{ix} = k_{rx} = k_{tx} = k_x$

$$k_{iy} = k_{ry} = k_{ty} = k_y$$

$$k_1 \cos a_i = k_1 \cos a_r = k_2 \cos a_t$$

$$0 = k_1 \cos 90^\circ = k_1 \cos \beta_r = k_2 \cos \beta_t$$

(1) 反射线和折射线同时位于入射面内

$$\text{而 } a_i = \frac{\pi}{2} - \theta_i \quad a_r = \frac{\pi}{2} - \theta_r \quad a_t = \frac{\pi}{2} - \theta_t$$

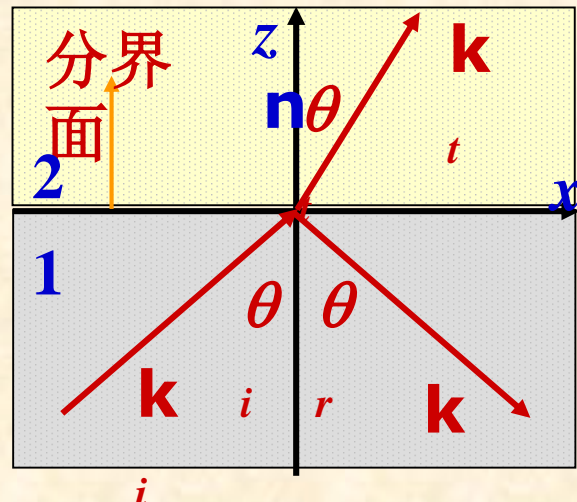
$$\text{故 } k_1 \sin \theta_i = k_1 \sin \theta_r = k_2 \sin \theta_t \quad (2)$$

由 $k_1 \sin \theta_i = k_1 \sin \theta_r$, 得

$\theta_r = \theta_i$ —— 反射角 θ_r 等于入射角 θ_i
(斯耐尔反射定律)

由 $k_1 \sin \theta_i = k_2 \sin \theta_t$, 得

$\frac{\sin \theta_2}{\sin \theta_1} = \frac{k_1}{k_2} = \sqrt{\frac{\mu_1 \varepsilon_1}{\mu_2 \varepsilon_2}} = \frac{n_1}{n_2}$ —— 折射角 θ_t 与入射角 θ_i 的关系
(斯耐尔折射定律)



式中 $k_1 = \omega \sqrt{\varepsilon_1 \mu_1}$, $k_2 = \omega \sqrt{\varepsilon_2 \mu_2}$ 。 ($\mu_1 = \mu_2, n_i = \sqrt{\varepsilon_{ri}}$)

上述两条结论总称为斯耐尔定律。

斯耐尔定律描述了电磁波的反射和折射规律, 具有广泛应用。

二、菲涅耳公式（入射波、反射波和折射波的相对振幅关系）

1. 垂直极化波

入射场： 入射波的传播矢量 $\hat{s}_i = \hat{x} \sin \theta_1 + \hat{z} \cos \theta_1$

$$\bar{E}_i = \hat{y} E_{i0} e^{-jk_1(x \sin \theta_1 + z \cos \theta_1)}$$

$$\bar{H}_i = (-\hat{x} \cos \theta_1 + \hat{z} \sin \theta_1) \frac{E_{i0}}{\eta_1} e^{-jk_1(x \sin \theta_1 + z \cos \theta_1)}$$

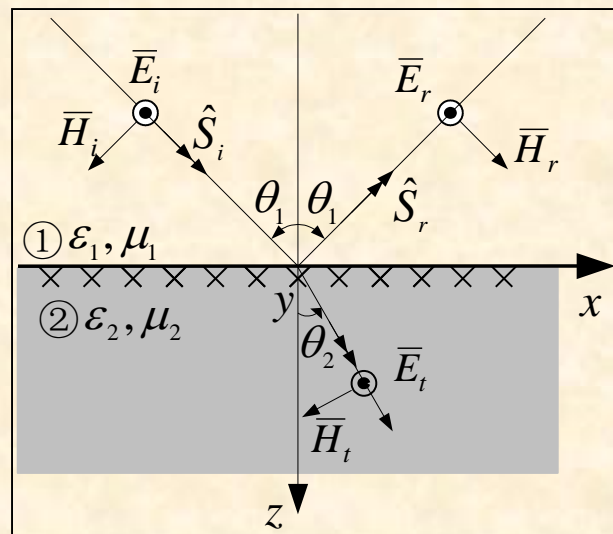
反射场： $\theta_1 \rightarrow (\pi - \theta_1), \quad E_{i0} \rightarrow R_{\perp} E_{i0}$

反射场的传播矢量

$$\hat{s}_r = \hat{x} \sin \theta_1 - \hat{z} \cos \theta_1 = \hat{x} \sin(\pi - \theta_1) + \hat{z} \cos(\pi - \theta_1)$$

$$\bar{E}_r = \hat{y} R_{\perp} E_{i0} e^{-jk_1(x \sin \theta_1 - z \cos \theta_1)}$$

$$\bar{H}_r = (\hat{x} \cos \theta_1 + \hat{z} \sin \theta_1) \frac{R_{\perp} E_{i0}}{\eta_1} e^{-jk_1(x \sin \theta_1 - z \cos \theta_1)}$$



(a) 垂直极化波

图6.3-4 两种极化波对理想介质平面的斜入射

折射场:

$$\theta_1 \rightarrow \theta_2, \quad E_{i0} \rightarrow T_{\perp} E_{i0}, \quad k_1, \eta_1 \rightarrow k_2, \eta_2$$

$$\text{传播矢量 } \hat{s}_t = \hat{x} \sin \theta_2 + \hat{z} \cos \theta_2$$

$$\bar{E}_t = \hat{y} T_{\perp} E_{i0} e^{-jk_2(x \sin \theta_2 + z \cos \theta_2)}$$

$$\bar{H}_t = (-\hat{x} \cos \theta_2 + \hat{z} \sin \theta_2) \frac{T_{\perp} E_{i0}}{\eta_2} e^{-jk_2(x \sin \theta_2 + z \cos \theta_2)}$$

BC❶: $z=0$ 处1区的合成电场切向分量(y分量) 应该等于2区的电场强度切向分量

$$E_{i0} e^{-jk_1 x \sin \theta_i} + R_{\perp} E_{i0} e^{-jk_1 x \sin \theta_1} = T_{\perp} E_{i0} e^{-jk_2 x \sin \theta_2}$$

BC❷: $z=0$ 面上磁场强度的切向分量(x分量)连续

$$-\cos \theta_1 \frac{E_{i0}}{\eta_1} e^{-jk_1 x \sin \theta_1} + \cos \theta_1 \frac{R_{\perp} E_{i0}}{\eta_1} e^{-jk_1 x \sin \theta_1} = -\cos \theta_2 \frac{T_{\perp} E_{i0}}{\eta_2} e^{-jk_2 x \sin \theta_2}$$

应用相位匹配条件 $k_1 \sin \theta_1 = k_2 \sin \theta_2$

上两式化为:

$$\left\{ \begin{array}{l} R_{\perp} = \frac{\eta_2 \cos \theta_1 - \eta_1 \cos \theta_2}{\eta_2 \cos \theta_1 + \eta_1 \cos \theta_2} \\ T_{\perp} = \frac{2\eta_2 \cos \theta_1}{\eta_2 \cos \theta_1 + \eta_1 \cos \theta_2} \end{array} \right. \quad \text{当 } \mu_1 = \mu_2$$

$$\left\{ \begin{array}{l} R_{\perp} = \frac{n_1 \cos \theta_1 - n_2 \cos \theta_2}{n_1 \cos \theta_1 + n_2 \cos \theta_2} \\ T_{\perp} = \frac{2n_2 \cos \theta_1}{n_1 \cos \theta_1 + n_2 \cos \theta_2} \end{array} \right.$$



思考

导出垂直入射于理想介质时的反射系数和透射系数

2. 平行极化波

入射场: $\bar{E}_i = (\hat{x} \cos \theta_1 - \hat{z} \sin \theta_1) E_{i0} e^{-jk_1(x \sin \theta_1 + z \cos \theta_1)}$

$$\bar{H}_i = \hat{y} \frac{E_{i0}}{\eta_1} e^{-jk_1(x \sin \theta_1 + z \cos \theta_1)}$$

反射场:

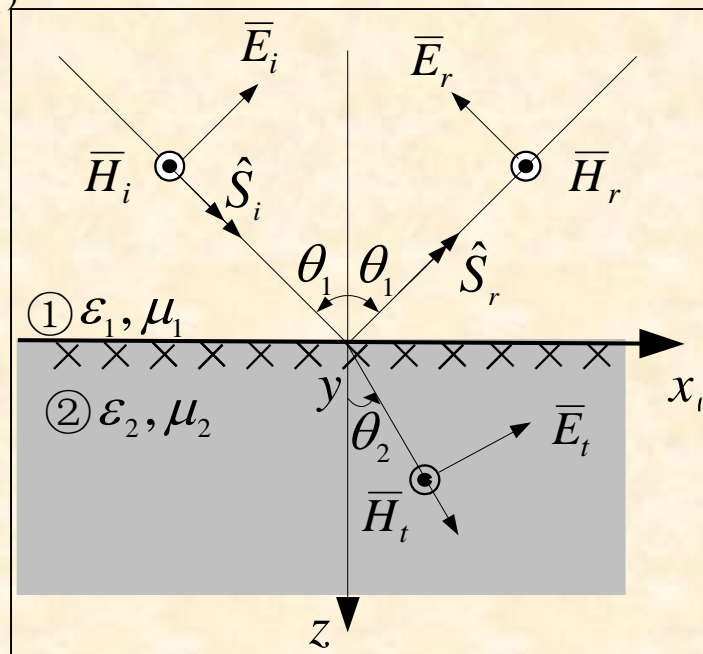
$$\bar{E}_r = -(\hat{x} \cos \theta_1 + \hat{z} \sin \theta_1) R_{//} E_{i0} e^{-jk_1(x \sin \theta_1 - z \cos \theta_1)}$$

$$\bar{H}_r = \hat{y} \frac{R_{//} E_{i0}}{\eta_1} e^{-jk_1(x \sin \theta_1 - z \cos \theta_1)}$$

折射场:

$$\bar{E}_t = (\hat{x} \cos \theta_2 - \hat{z} \sin \theta_2) T_{//} E_{i0} e^{-jk_2(x \sin \theta_2 + z \cos \theta_2)}$$

$$\bar{H}_t = \hat{y} \frac{T_{//} E_{i0}}{\eta_2} e^{-jk_2(x \sin \theta_2 + z \cos \theta_2)}$$



(b) 平行极化波

图6.3-4 两种极化波对理想介质平面的斜入射

BC: 分界面上的切向电场 \mathbf{E}_x 连续, 切向磁场 \mathbf{H}_y 连续, 并考虑相位匹配条件

$$\begin{aligned}\cos \theta_1 (1 - R_{//}) &= \cos \theta_2 T_{//} \\ \frac{1}{\eta_1} (1 + R_{//}) &= \frac{1}{\eta_2} T_{//}\end{aligned}$$

解得

$$\begin{cases} R_{//} = \frac{\eta_1 \cos \theta_1 - \eta_2 \cos \theta_2}{\eta_1 \cos \theta_1 + \eta_2 \cos \theta_2} \\ T_{//} = \frac{2\eta_2 \cos \theta_1}{\eta_1 \cos \theta_1 + \eta_2 \cos \theta_2} \end{cases}$$

当 $\mu_1 = \mu_2$

$$\begin{cases} R_{//} = \frac{n_2 \cos \theta_1 - n_1 \cos \theta_2}{n_2 \cos \theta_1 + n_1 \cos \theta_2} \\ T_{//} = \frac{2n_1 \cos \theta_1}{n_2 \cos \theta_1 + n_1 \cos \theta_2} \end{cases}$$

■ 小结

● 分界面上的相位匹配条件

$$k_1 \sin \theta_i = k_1 \sin \theta_r = k_2 \sin \theta_t$$

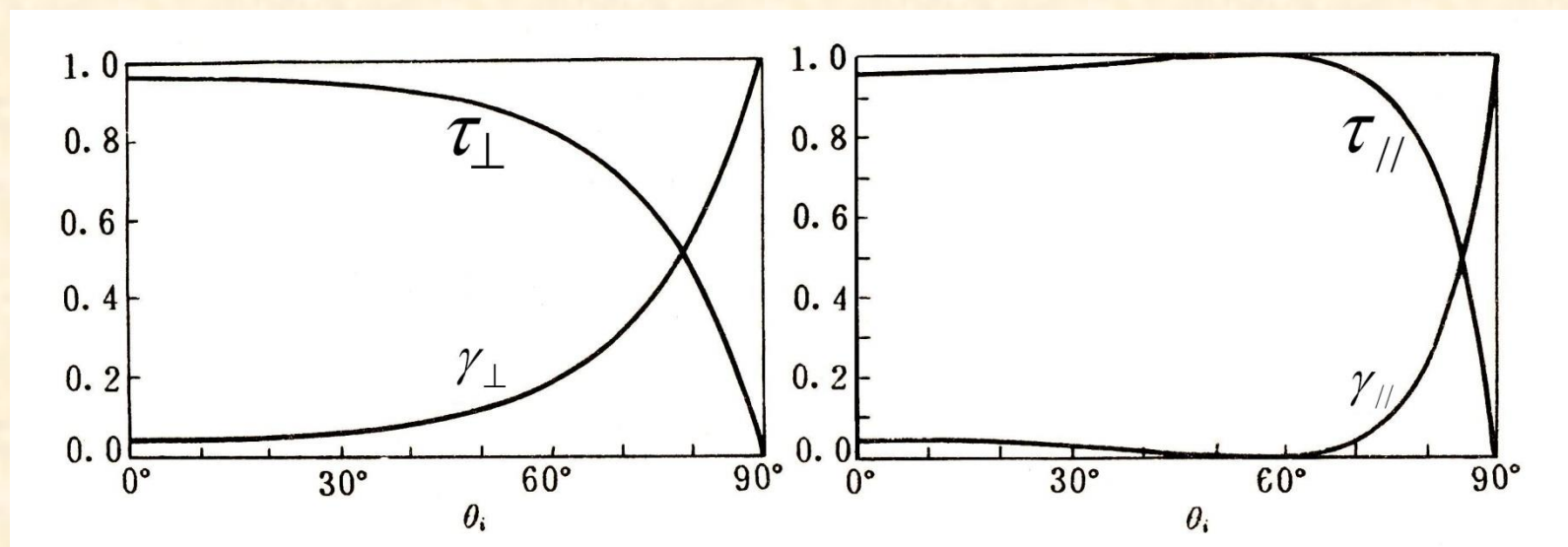
● 反射定律 $\theta_i = \theta_r$

● 折射定律 $k_1 \sin \theta_i = k_2 \sin \theta_t$ 或 $n_1 \sin \theta_i = n_2 \sin \theta_t$

● 反射系数、折射系数与两种媒质性质、入射角大小以及入射波的极化方式有关，由菲涅尔公式确定。

P. 188

例6.3-2 均匀平面波自空气斜入射于 $\epsilon_r=2.25$ 的理想介质平面，试求分界面上单位面积的反射功率百分比和透射功率百分比。



(a)

(b)

图6.3-5 $n_1=1$, $n_2=1.5$ 时的反射功率百分比和透射功率百分比